

九州大学工学部 正会員 ○半島武士

牛序章光

学生員 田中義治

藤田昌伸

I. 構造物による波の遮断法

従来の一般防波堤又は潜堤は、固体構造物によって直接的に波を遮断しようとするものであるが、潜堤¹⁾における場合は、波のdiffraction現象によつて遮断効果は低く且周波数特性をもつことになり、実用に応する遮断効果をもつたためには、天端は静水面に近い高さを必要とする。このような直接遮断による方法の外に、波による固体構造物の運動により誘起されるradiation waveを利用する間接遮断による方法もある。この方法はFig.1に示すように浮遊堤体を弹性索で保留し、堤体下部を通過するdiffraction waveと堤体運動により誘起されるradiation waveの重合により、堤体を通過する波を相殺し、エネルギー損失を生じることなしに、波を遮断することが出来る。²⁾然し、その遮断効果は周波数特性をもつことになり、構造物の保留方法によって問題が発生する。之に対して、構造物をflexibleなものにするとその変形によってradiation waveが誘起されるので、それを利用して波を遮断することが出来る。³⁾

Fig.2はスクのflexibleな膜で出来た空気袋を間隔Dを以て水深Hの海底に設置し、両者を通気管によって連通されたものである。入射波は空気袋の存在により一部反射するが大部分は通過し、その際空気袋の変形によって誘起されるradiation waveと通過波とは位相の逆転によって相殺し、特定波長の波は選択的に完全に遮断される。そして空気袋潜堤の前面には完全重複波が発生する。

空気袋は波によつて容易に変形するが、波の周波数程度では空気はほとんど非圧縮性であるため、單一の空気袋では変形量は不充分で、波を完全に遮断するに必要な振幅radiation waveを発生することは出来ない。そこでスクの空気袋を連通させて空気が自由に流通するよう寸法W、深さDの弾性膜を張り、Fig.1の空気潜堤を設置し、之を空気管で連通したものである。膜面は、外の水圧と内の大気圧との釣り合いによって水平面になつてるので、入射波は何等の障礙を受けずに進行するが之に伴う水底圧力の変動によつて膜面上に上下振動を生じ、radiation waveが誘起され、之が入射波を相殺し波が遮断される。

以上のように波の間接遮断法の理論は、Fig.1の場合については既に解明してある²⁾ので、之ではFig.2及びFig.3の方法に関する解析結果を説明する。

II. 遮断効果の解析結果

(1) 空気袋潜堤による波遮断

Fig.2に示した空気袋の静止時の形状は、膜の単位長の質量(密度×厚さ)と海底の固定端での張力T₀及びその水平面とのす角度θ₀により決まる。厚さを0.005m、密度を1.0、θ₀=60°としたとき、T₀=(0.05及び0.1)pgm²における袋の形はFig.4に示すように計算される。前述のように、之等が単独に存在する場合の遮断効果が頗る

小さいことはFig.5で示すようである。実線及び破線はFig.4の波を間隔 $B=4\lambda$ に取り、固体とレマ計算した場合とflexibleであるが連通しない場合の β_L (L は波長)に対する反射率 K_r と通過率 K_t の計算結果である。何れの場合も K_t は殆んど1.0に近く実用効果がないことが分る。二つの袋を通気管によって連結した場合、 $\beta_L=2, 4, 6$ に対する K_t を $\lambda/\lambda_0 (=2\pi R/L)$ 及び β_L について示すと、Fig.6のようである。之によつて $\beta_L=4$ 及び6の場合 $\beta_L=0.7$ において K_t は未だ0.1及び0を示し、この波長の波はまだ完全に遮断されるものと考えられる。

(2) 空気膜層による波遮断

Fig.3に示した構造において膜面幅 $W=1\lambda$ 、層厚深さ $D=0.2\lambda$ の場合、前と同じ単位質量の膜を同じ張力 $T=0.1 \text{ Pa} \cdot \text{m}^2$ で張り、 $\beta_L=3, 4, 6$ とした時の K_r と K_t を示すとFig.7のようである。Fig.6とよく似てはいるが K_t の極小値がやや前者より大きく対応する λ/λ_0 (又は β_L)が多少異なっている。然しこれは極めて宣しい。

以上はすべて連通管内の空気流に対する抵抗がない($\mu_h=0$)場合である。實際には何等か抵抗が存在するからそれを流速に比例すると仮定して $\mu_h=0, 1, 2, 5, 10$ 及び ∞ とし $\beta_L=4.0$ の場合につけて K_r と K_t を計算した結果をFig.8に示す。抵抗が大きくなると K_t は急速に低下し $\mu_h \rightarrow \infty$ (即ち連通しない場合)に近づく。 K_t は $\mu_h=0 \sim 2$ までは殆んど変らないがそれ以上では上昇を示し、 $\mu_h \rightarrow \infty$ に近づく。このように抵抗の存在により入射波のエネルギーが消費され消費が行われる。この消費量を入射波のエネルギー-fluxに対する比で示すと $EL=1-K_r^2-K_t^2$ である。 $\mu_h=2.0$ と 5.0 について示すとFig.9のようである。 $\beta_L=0.5 \sim 0.6$ において EL の最大値約0.5を見出。即ちこの波長の波のエネルギー損失は入射波の50%程度に達することとなる。之はこの装置をエネルギー交換器として、利用し得るエネルギーの割合を示すものである。

文献

- 1). 井島武士、佐々木富雄：「潜堤の効果に関する理論的研究」第18回海講論文集(1971) PP.141~147
- 2). 井島武士、吉田明徳：「任意断面浮体の次元係留運動と波の変形」土木学会論文報告集第272号1978 PP.53~63
- 3). 井島吉田、田中・上原：「空気袋層による波の制御理論(I)」九大工学集報1982. 55巻、1号 PP.35~42

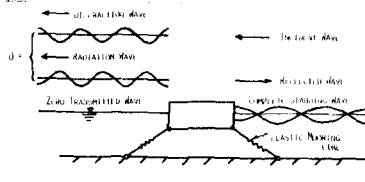


FIG. 1 Wave Interaction by Floating Body

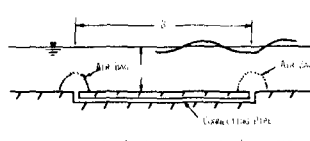


FIG. 2 Air Bag System for Wave Interaction

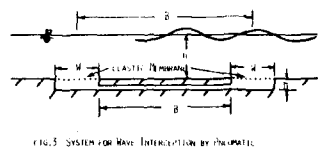


FIG. 3 SYSTEM FOR WAVE INTERACTION BY FLEXIBLE

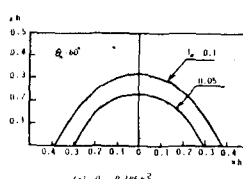


FIG. 4 Equilibrium Shape of Air Bag

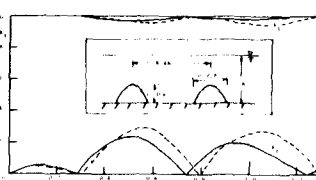


FIG. 5 Reflection and Transmission of Waves through Air Bag

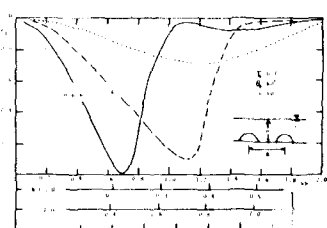


FIG. 6 Effect of the Incident Frequency on the Reflection Coefficient

